

Badische Landesbibliothek Karlsruhe

Digitale Sammlung der Badischen Landesbibliothek Karlsruhe

**Untersuchungen über den Energieverlust des Wassers in
Turbinenkanälen**

Oesterlin, Hermann

Berlin, 1903

2. Kapitel. Bestimmung der Geschwindigkeiten des Wassers aus den
Druckhöhen

[urn:nbn:de:bsz:31-274039](https://nbn-resolving.org/urn:nbn:de:bsz:31-274039)

An jedem der 4 Kanäle wurden dann noch 2 gleiche, geradlinige gußeiserne Verlängerungsstücke zwischen den vorstehenden Blechen befestigt, und zwar immer dieselben. Der Ausflußquerschnitt und die Breite b bleibt bei allen fast konstant ($b = 160$ mm). Auch hier wurde ein ruhiger Einfluß des Wassers durch ein Übergangsstück und durch geradlinige Verlängerung der Kanäle vor dem Einflußquerschnitt erhalten.

Die Druckhöhenmessungen waren mittelst in die Gußplatten eingesetzter Messingröhrchen zuerst im Einflußquerschnitt und dann in einem Querschnitt des Verlängerungsstückes vorzunehmen. Der Verlust, der zwischen diesen beiden Querschnitten durch Reibung eintrat, konnte also nach der Messung der Wassermenge am Überfall aus den Versuchswerten (Tabelle 5, 6, 7, 8) (Tafel V) berechnet werden. In den Ausflußquerschnitt selbst waren keine sicheren Messungen vorzunehmen, da die Bleche am Ende nicht mehr so genau senkrecht zwischen den Gußplatten durch die Schrauben festgehalten werden konnten, wie längs des Kanales. Eine sehr genaue Querschnittsbestimmung ist aber bei der hohen Geschwindigkeit besonders am Ende der Kanäle unbedingt nötig.

Zu den aus Tafel V ersichtlichen Schaufelformen ist noch zu erwähnen, daß diese bei Kanal III mit einem Geschwindigkeitsriß versehen, bei Kanal IV und V mittelst Kreisbögen und Tangenten konstruiert sind.

Kanal VI ist nicht gekrümmt und dient dazu bei gleicher Länge des Wasserfadens in der Kanalmitte mit Kanal IV den Einfluß der Krümmung zu zeigen. Weiteres über die Schaufelformen wird später mitgeteilt.

Der letzte, der Kanal VII unterscheidet sich von den anderen vor allem durch seine variable Breite (Tafel V). Er ist mittelst Geschwindigkeitsriß konstruiert und aus Messingblech zusammengelötet. Die Druckhöhen wurden im Querschnitt 1. u. 4. an Messingröhrchen gemessen (Tabelle 9).

2. Kapitel.

Bestimmung der Geschwindigkeiten des Wassers aus den Druckhöhen.

Zur Lösung dieser Aufgabe sollen zunächst die hier in Betracht kommenden Gleichungen der Hydrodynamik aufgestellt werden.

In Turbinenkanälen, in welchen das Wasser eine gekrümmte Bahn beschreiben muß, steigt bekanntlich (Tafel 1. 3. 4.) der Druck von der

konkaven nach der konvexen Seite hin an, und es kann die Größe der Zunahme berechnet werden. — Ein Wasserteilchen von der Gestalt eines unendlich kleinen rechtwinkligen Parallelepipeds bewege sich so durch den Kanal, daß seine eine Achse in die Richtung seiner Geschwindigkeit fällt. Gibt dann F die Größe der zu dieser Achse parallelen Flächen und p den Flüssigkeitsdruck in kg/qm an, der auf die innere Fläche F wirkt, so ist die Kraft in Richtung der Bahnnormalen

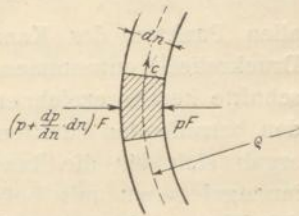


Fig. 6.

$$P = p F - \left(p + \frac{dp}{dn} \cdot dn \right) F$$

$$P = - \frac{dp}{dn} \cdot dn \cdot F,$$

wenn $\frac{dp}{dn}$ die Zunahme des Flüssigkeitsdruckes in dieser Richtung pro Längeneinheit und dn die gleichgerichtete Kantenlänge des Parallelepipeds bezeichnet.

Soll nun das mit der Geschwindigkeit c bewegte Wasserteilchen eine Kurve vom Krümmungsradius q beschreiben, so muß seiner Masse in radialer Richtung eine Beschleunigung $-\frac{c^2}{q}$ durch obige Kraft erteilt werden. Bezeichnen wir demnach mit $\gamma = 1000$ das (spez.) Gewicht des Wassers pro cbm, mit $g = 9,81$ die Beschleunigung der Schwere und mit $h = \frac{P}{\gamma}$ die Druckhöhe als Wassersäule in m, so ist

$$- \frac{dp}{dn} \cdot dn \cdot F = - F \cdot dn \cdot \frac{\gamma}{g} \cdot \frac{c^2}{q},$$

$$1) \dots \dots \dots \frac{dh}{dn} = \frac{c^2}{g q}$$

Diese Gleichung wurde auf 2 Arten angewandt. Zuerst wurden in dem Kanal II zehn Wasserfäden in der Weise von den Rändern ausgehend aneinandergereiht, daß sie alle im Eintrittsquerschnitt 0 die gleiche Weite dn_0 und in anderen Normalschnitten die aus der Gleichung

$$dn = \frac{c_0}{c} \cdot dn_0$$

berechnete Weite dn erhielten mit Verwendung der aus Gleichung 1 bestimmten Geschwindigkeiten c . Das Verhältnis $\frac{dh}{dn}$ könnte dabei an allen Punkten des Kanales aus dem durch den Versuch erhaltene Druckrelief¹⁾ entnommen werden, indem die Druckkurven der Normalschnitte herausgezeichnet, und die Größen der Tangenten an diese in den betreffenden Punkten festgestellt wurden. Der Krümmungsradius ergab sich für die Randfäden aus der Schauffelform, für die weiter innen gelegenen mit befriedigender Annäherung aus der Begrenzung des Wasserfadens, an den sie angereicht wurden. Leider trat in der Mitte des Kanales eine genaue Übereinstimmung der Wasserfäden nicht ein; ebenso hatte auch folgende an dem Kanal I angestellte Untersuchung keinen Erfolg. Die Geschwindigkeit c wurde an mehreren Stellen der mittleren Normalschnitte aus Gleichung 1) dadurch bestimmt, daß man $\frac{dh}{dn}$ wiederum aus dem Druckrelief des Versuches, ρ aber an den in der Zeichnung (Tafel 1) eingetragenen hypothetischen kreisförmigen Bahnen entnahm. Die so gefundenen Werte c wurden über der Kanalweite aufgetragen und der (durch Ausplanimetrieren der Fläche erhaltene Mittelwert c_1 mit der durch Division der Wassermenge V (in cbm/Sek.) durch die Querschnittsfläche F (in qm) berechneten Geschwindigkeit $c_m = \frac{V}{F}$ verglichen. Anstatt

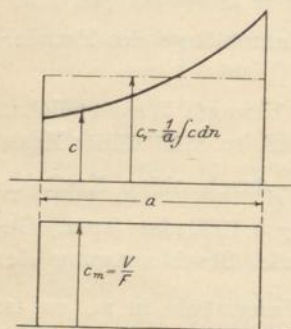


Fig. 7.

keine richtigen Resultate ergab, kann nur darin liegen, daß der Krümmungsradius ρ der Bahn der Wasserteilchen nicht genau festzustellen ist. Am Rande der einzelnen Wasserfäden kommen Teilchen in Rotation und diese Teilchen können ihre Rotationsenergie nur in Wärme umsetzen. Ferner muß, wie sich später zeigt, Energieaustausch durch Reibung zwischen den einzelnen Wasserfäden angenommen werden.

Der neue Weg, der jetzt eingeschlagen wurde, beruht auf folgender Überlegung²⁾. Befindet sich ein Wasserteilchen in Gestalt eines un-

1) Brauer, Turbinentheorie. Kap. XI. S. 109. Die Druckhöhen sind auf Tafel I in ein Polarkoordinatensystem eingetragen.

2) Brauer, Turbinentheorie. Kap. 1.

endlich kleinen geraden Zylinders von der Grundfläche dF und der Höhe dl so in dem Kanal, daß seine Höhe senkrecht zu der Fläche gleichen Druckes gerichtet ist, dann wirkt an diesem Teilchen außer seiner Schwere $dG = \gamma \cdot dF \cdot dl$ die Kraft $dP = \frac{dp}{dl} \cdot dl \cdot dF$,

wenn $\frac{dp}{dl}$ die Zunahme des Druckes pro Längeneinheit in Richtung der Achse angibt. Da nun meist bei Turbinenkanälen, jedenfalls bei horizontalen, dG im Vergleich zu dP ohne wesentlichen Fehler vernachlässigt werden kann, so fällt die Richtung der Beschleunigung des Wasserteilchens mit der der Kraft dP zusammen, die Beschleunigung erfolgt also senkrecht zur Fläche gleichen Druckes. Diese Fläche kann aus den Versuchswerten in der Zeichnung bestimmt werden, und damit ist die Richtung der Beschleunigung in jedem Punkt des Kanales bekannt und die Konstruktion von Geschwindigkeitsrissen und Wasserfäden möglich.

Bei dem Kanal I wurde zunächst der Eintrittsquerschnitt 0, in welchem Geschwindigkeitsmessungen ausgeführt waren, in 8 Abschnitte von verschiedener Weite dn so geteilt, daß durch jeden die gleiche Wassermenge floß. Darauf erfolgte die Aufzeichnung der Geschwindigkeitsrisse für die Wasserfäden an den Rändern mit Geschwindigkeitsrichtungen tangential an die Schaufeln und mit Beschleunigungsrichtungen normal zur Richtung der Druckgleichen an den betreffenden Punkten. Der Maßstab der Geschwindigkeitsrisse ist durch die bekannte Geschwindigkeit c_0 im Querschnitt 0 gegeben und die normalen Weiten dn der Wasserfäden konnten aus der Gleichung

$$dn = \frac{c_0}{c} \cdot dn_0$$

berechnet werden. Ebenso wurden auch die anderen an die Randfäden anschließenden Wasserfäden gefunden nur, daß hier die Begrenzungslinie des benachbarten Wasserfadens für die Geschwindigkeitsrichtungen maßgebend war.

Nach Aufzeichnung aller 8 Fäden blieb in der Mitte des Kanales zwar auch wieder ein kleiner Streifen frei; ein Zeichen, daß noch ein Fehler vorhanden war. Dieser konnte aber hier durch Einführung des Teiles des Reibungsverlustes, welcher bei Bestimmung der Geschwindigkeiten aus den gemessenen Druckhöhen unberücksichtigt bleibt, beseitigt werden.

Die mittlere Geschwindigkeit c_1 des durch die konstruierten Wasserfäden fließenden Wassers ist nämlich größer als die Geschwindigkeit $c_m = \frac{V}{F}$ bei gleicher Wassermenge V , da die Summe der Nor-

malschnitte f der Wasserfäden kleiner wird als der entsprechende z. Mittellinie des Kanales normale Querschnitt F . Nur im Eintrittsquerschnitt 0 tritt infolge obiger Konstruktion Übereinstimmung ein.

Die hier angenommene Annäherung, daß die Normale zur Mittellinie des Kanales normal zu allen Wasserfäden stehe, ist zulässig, die Differenz der Wasserfadenquerschnitte normal zum Wasserfaden und dem Querschnitt normal zur Kanalmittellinie unmeßbar klein.

Berechnet man nun die Geschwindigkeitshöhen $\frac{c_1^2}{2g}$ und $\frac{c_m^2}{2g}$, so muß auf die Differenz

$$\frac{c_1^2}{2g} - \frac{c_m^2}{2g}$$

durch den bisher vernachlässigten Reibungsverlust pro 1 kg Wasserverursacht sein. Andererseits aber wird man den ganzen wahren Energieverlust zwischen zwei Querschnitten F_1 und F_2 aus dem Versuch erhalten; er beträgt

$$U = h_{m_1} + \frac{c_{m_1}^2}{2g} - h_{m_2} - \frac{c_{m_2}^2}{2g}$$

wenn mit erlaubter Annäherung an Stelle des quadratischen Mittel

$\frac{c_m^2}{2g} = \frac{1}{F} \int \frac{c^2}{2g} \cdot dF$ das lineare Mittel $\frac{c_m^2}{2g} = \frac{1}{2g} \left(\frac{V}{F}\right)^2$ verwandt wird

und wenn h_m die mittleren Druckhöhen in m bezeichnet, welche durch Ausplanimetrieren der über dem betreffenden Querschnitt aufgezeichneten Druckfläche gefunden wird. Die so berechneten Werte zeigen, daß ein großer Teil, am Ende des Kanales sogar der größere Teil des ganzen Reibungsverlustes noch zu bestimmen bleibt, was in folgender Weise geschieht.

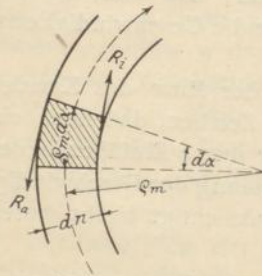


Fig. 8.

An einem zwischen zwei Normalquerschnitten befindlichen Element eines gekrümmten Wasserfadens von der mittleren in seiner Bahn liegenden Länge $q_m d\alpha$, von der Breite b und der zur Bahn normalen Weite dn^1) wirken infolge innerer Flüssigkeitsreibung nach der Newtonschen Hypothese

¹⁾ Bei der Rechnung werden die Verhältnisse endlicher Differenzen im Sinne von Differentialverhältnissen verwandt.

$$\left(\text{Tangentialkraft in kg/qm} = \tau = k \cdot \frac{dc}{dn} \right)$$

Mittelpunkt eine beschleunigende Kraft

$$R_i = k \cdot \varrho_i \cdot d\alpha_i \cdot b \cdot \frac{dc}{dn}$$

auf der konkaven Seite und eine verzögernde Kraft

$$R_a = k \cdot \varrho_a \cdot d\alpha_a \cdot b \cdot \left(\frac{dc}{dn} - \frac{d^2c}{dn^2} \cdot dn \right)$$

auf der konvexen Seite des Elementes, wenn k den Reibungskoeffizient von Wasser und $\frac{dc}{dn}$ die in den betreffenden Stellen vorhandene Zunahme der Geschwindigkeit pro Längeneinheit in Richtung des Krümmungsradius angibt, und zwar positiv bei Zunahme der Geschwindigkeit gegen den Mittelpunkt zu. Die Differenz dieser beiden Kräfte zeigt die Größe der der Geschwindigkeit c entgegengesetzt gerichteten Resultante

$$R = k \cdot b \cdot \left[\varrho_a \cdot d\alpha_a \left(\frac{dc}{dn} - \frac{d^2c}{dn^2} \cdot dn \right) - \varrho_i \cdot d\alpha_i \cdot \frac{dc}{dn} \right]$$

oder, da mit der bei Kanal I auch für endliche Größen zulässigen Annahme

$$d\alpha_i = d\alpha_m = d\alpha_a,$$

$$\varrho_i \cdot d\alpha_i = \varrho_m \cdot d\alpha - \frac{dn}{2} \cdot d\alpha \quad \text{und}$$

$$\varrho_a \cdot d\alpha_a = \varrho_m \cdot d\alpha + \frac{dn}{2} \cdot d\alpha$$

gesetzt werden möge, so ist

$$R = k \cdot b \cdot \left[\frac{dc}{dn} \left(\varrho_m \cdot d\alpha + \frac{dn}{2} \cdot d\alpha - \varrho_m \cdot d\alpha + \frac{dn}{2} \cdot d\alpha \right) \right.$$

$$\left. - \frac{d^2c}{dn^2} \left(\varrho_m \cdot d\alpha + \frac{dn}{2} \cdot d\alpha \right) \right]$$

$$R = k \cdot \varrho_m \cdot d\alpha \cdot dn \cdot b \cdot \left[\frac{dc}{dn} \frac{1}{\varrho} - \frac{d^2c}{dn^2} - \frac{d^2c}{dn^2} \cdot \frac{dn}{2\varrho} \right]$$

Das letzte Glied der Klammer kann den beiden anderen gegenüber vernachlässigt werden, und es bleibt

$$2) \dots \dots R = k \cdot \rho_m \cdot d \alpha \cdot dn \cdot b \cdot \left(\frac{dc}{dn} \cdot \frac{1}{\rho_m} - \frac{d^2c}{dn^2} \right)^{1)}$$

die das Wasserteilchen verzögernde Kraft infolge innerer Flüssigkeitsreibung.

Die Einwirkung der Wandflächenreibung auf das Wasserelement möge dagegen mit der Annäherung bestimmt werden, daß die durch sie erzeugte Tangentialkraft in einer Fläche F

$$T = \psi \cdot F \cdot c^2$$

beträgt, wenn ψ den Koeffizient der Wandflächenreibung bezeichne. Dann entsteht infolge Wandreibung des Elementes an beiden Kränzen (an Deckel und Boden des Apparates) die Summe von zwei Tangentialkräften

$$3) \dots \dots P_0 = 2 \psi dn \cdot \rho_m \cdot d \alpha \cdot c^2.$$

Ferner ist an einem an der inneren Schaufelfläche entlanglaufende Wasserteilchen die Tangentialkraft infolge Wandflächenreibung an der Innenwand

$$P_{0i} = \psi \cdot \rho_i \cdot d \alpha \cdot b \cdot c_i^2$$

und ebenso außen

$$P_{0a} = \psi \cdot \rho_a \cdot d \alpha \cdot b \cdot c_a^2.$$

Während aber k , der Koeffizient für innere Wasserreibung, bekannt ist²⁾,

$$k = \frac{1}{8000} \cdot \text{kg} \cdot \text{m}^{-2} \cdot \text{sek.}$$

muß ψ , der Koeffizient der Wandflächenreibung, welche noch nicht berücksichtigt ist, berechnet werden, bevor wir für jeden einzelnen der oben konstruierten Wasserfäden die Reibung einführen können.

Wir suchen zu diesem Zwecke zunächst die mittlere Verzögerung des Wassers aller acht Fäden infolge Reibung zwischen 2 Querschnitten auf. — Die Masse eines durch die Querschnitte begrenzten Wasserelementes wird mit dem spezifischen Gewicht des Wassers $\gamma = 1000 \text{ kg/cbm}$ aus

¹⁾ Das Resultat stimmt mit der hypothetischen Gleichung im Kap. XI der Brauer'schen Turbinentheorie überein.

²⁾ Brodmann, Untersuchungen über den Reibungskoeffizienten von Flüssigkeiten. Göttingen 1891.

$$M = \frac{\gamma}{g} \cdot \varrho d\alpha \cdot dn \cdot b$$

gefunden, und die Verzögerung, die das Element beim Durchfließen der Bahn $\varrho d\alpha$ infolge Reibung erleidet, ist für ein Element in der Mitte des Kanales

$$\varphi = \frac{R + P_0}{M}$$

für das Element an dem inneren Rande

$$\varphi_1 = \frac{R + P_0 + P_{0i}}{M}$$

und für das Element an der äußeren Schaufel

$$\varphi_8 = \frac{R + P_0 + P_{0a}}{M}$$

Die mittlere Verzögerung aller acht Elemente erhält man somit bei dem gleichen Winkel $d\alpha$ aller Wasserfäden und bei konstanter Breite b aus

$$\varphi_m = \frac{\varphi_1 dn_1 \cdot \varrho_1 + \varphi_2 dn_2 \cdot \varrho_2 + \dots + \varphi_7 dn_7 \cdot \varrho_7 + \varphi_8 dn_8 \cdot \varrho_8}{\varrho_m \cdot \Sigma dn}$$

oder mit Einsetzung aller Werte

$$\begin{aligned} \varphi_m = & \frac{\Sigma k \cdot \varrho d\alpha \cdot dn \cdot b \cdot \left[\frac{dc}{dn} \cdot \frac{1}{\varrho} - \frac{d^2c}{dn^2} \right] \cdot \frac{g}{\gamma \cdot \varrho d\alpha \cdot b \cdot dn} \cdot \varrho \cdot dn}{\varrho_m \cdot \Sigma dn} + \\ & + \frac{\Sigma \frac{2\psi \cdot dn \cdot \varrho d\alpha \cdot c^2 \cdot g}{\gamma \cdot \varrho d\alpha \cdot b \cdot dn} \cdot \varrho \cdot dn}{\varrho_m \cdot \Sigma dn} + \frac{\psi \cdot dn_1 \cdot \varrho_1 d\alpha \cdot c_1^2 \cdot g}{\gamma \cdot \varrho_1 d\alpha \cdot b \cdot dn_1} \cdot \varrho_1 \cdot dn_1 + \\ & + \frac{\psi \cdot dn_8 \cdot \varrho_8 \cdot d\alpha \cdot c_8^2 \cdot g}{\gamma \cdot \varrho_8 d\alpha \cdot b \cdot dn_8} \cdot \varrho_8 \cdot dn_8 \end{aligned}$$

$$\begin{aligned} 4) \quad \varphi_m = & \frac{1}{\varrho_m \cdot \Sigma dn} \left[\Sigma \frac{k \cdot g \cdot \varrho}{\gamma} \left(\frac{dc}{dn} \cdot \frac{1}{\varrho} - \frac{d^2c}{dn^2} \right) dn + \Sigma \frac{2\psi \cdot g \cdot \varrho}{\gamma} \cdot \frac{c^2}{b} \cdot dn + \right. \\ & \left. + \frac{\psi \cdot g \cdot \varrho_1}{\gamma} \cdot \frac{c_1^2}{b} \cdot dn_1 + \frac{\psi \cdot g \cdot \varrho_8}{\gamma} \cdot \frac{c_8^2}{b} \cdot dn_8 \right] \end{aligned}$$

Die so gefundene mittlere Verzögerung setzen wir der Verzögerung φ_m der mittleren Geschwindigkeit zwischen zwei Querschnitten gleich, welche dem in der Mitte des Kanales freigebliebenen Streifen entspricht. Hat z. B. in einem Querschnitte 1. dieser Streifen die Breite l_1 und im nächsten 2. die Breite l_2 , so ist diese Verzögerung

$$\varphi_m = (c' - c_{m_2}) \cdot \frac{1}{dt}$$

wenn

$$c' = \frac{V}{\left(a_2 - l_2 + l_1 \cdot \frac{a_2}{a_1}\right)} \text{ und}$$

$$c_{m_2} = \frac{V}{a_2 \cdot b_2}$$

und dt die Zeit bezeichnet, in welcher das Wasser den mittleren Weg zwischen den 2 Querschnitten mit der mittleren Geschwindigkeit

$$v = \frac{c_{m_1} + c_{m_2}}{2}$$

zurücklegt. Daher ist

$$5) \dots \dots \dots \varphi_m = (c' - c_{m_2}) \frac{v}{\varrho_m \cdot d\alpha}$$

Aus Gleichung 4) und 5) wurde nun ψ bestimmt mit Verwendung der über den Querschnitten aufgezeichneten Geschwindigkeitskurven wie sie sich aus den bis jetzt konstruierten Wasserfäden ergaben. Die Werte $\frac{dc}{dn}$ und $\frac{d^2c}{dn^2}$ wurden dabei durch Anlegen von Tangenten an die Geschwindigkeitskurven in den betreffenden Punkten gefunden.

Die innere Flüssigkeitsreibung ist bei Kanal I gegenüber der Wandflächereibung infolge der im Vergleich zum Umfang geringen Querschnittsfläche sehr klein, so daß jene bei der nun folgenden Neubestimmung der einzelnen Wasserfäden vernachlässigt werden konnte.

Von dem Eintrittsquerschnitt ausgehend wurde in allen Normal-schnitten der Wasserfäden die mit Einführung der Reibung entstehende neue Weite berechnet. Von einem Querschnitt zum andern ist nämlich die Verzögerung eines Wasserelementes in der Mitte des Kanales infolge Wandflächenreibung

Behalten wir nämlich das Bild der einzelnen Wasserfäden bei, so zeigen die Geschwindigkeitskurven im Verlauf des Kanales, daß die Geschwindigkeiten des inneren Randfadens bedeutend größer sind, als die äußeren, wie ja schon aus den Druckkurven zu schließen war. In dem ausfließenden Strahl aber ergeben die Parabelmessungen eine größere Geschwindigkeit auf der Außenseite als auf der Innenseite und die Geschwindigkeitskurve im Querschnitt 5 zeigt schon deutlich das Ansteigen der Geschwindigkeit auf der Außenseite. Die Erklärung des ganzen Vorganges ist folgende.

Aus den Druckkurven ist zu ersehen, daß für den inneren Randfaden und seine Nachbarn kurz vor dem Ausfluß Unterdruck eintritt, der dann ziemlich schnell wieder verschwinden muß, da im Ausfluß selbst der Druck 0 herrscht. Infolge dieser Druckverteilung wird aber die Masse eines an der betreffenden Stelle befindlichen Wasserfadenelementes plötzlich verzögert, während gleichzeitig bei den äußeren Randfäden eine Beschleunigung eintritt. Ja es wird sogar die Ausfließgeschwindigkeit außen größer wie innen, denn die Geschwindigkeiten richten sich bei dem gleichen Druck im ganzen Ausflußquerschnitt nach den Reibungsverlusten der einzelnen Wasserfäden. Das Wasser erleidet aber bei dem Durchfluß des inneren Fadens infolge größerer Geschwindigkeit größere Verluste durch Reibung als bei dem Durchfluß des äußeren. Dabei tritt an einigen Stellen Energieaustausch zwischen den benachbarten Wasserfäden ein. Z. B. nimmt für den inneren Randfaden der spezifische Energiewert von Querschnitt 2 an und wird im Querschnitt 3 größer als das zur Verfügung stehende Gesamtgefälle, während die Energie der benachbarten Wasserfäden sehr verringert ist. Man erkennt dies aus den starken Einschnitten der Geschwindigkeitskurven, die ohne entgegengesetzte Schwankungen der Druckkurven erfolgen (Tafel II).

In Wahrheit sind die Wasserbewegungen in einem Turbinenkanal nicht so einfach, wie sie durch die Vorstellung von Wasserfäden erscheinen; aber man muß diese Annäherung einführen, um überhaupt eine theoretische Behandlung der komplizierten Vorgänge zu ermöglichen.

Noch eine weitere Betrachtung kann über den Verlauf der Geschwindigkeitskurven angestellt werden. Es zeigt sich nämlich in allen Querschnitten, daß die Randgeschwindigkeit innen

$$8) \dots \dots \dots u_i = k' \cdot c_m = k' \cdot \frac{V}{F}$$

und die Randgeschwindigkeit außen

$$9) \dots \dots \dots u_a = k'' \cdot c_m = k'' \cdot \frac{V}{F}$$

bei, ist und daß der Wert der Konstanten aus den Gleichungen

$$k' = \frac{r_m}{\varrho_i}$$

$$k'' = \frac{r_m}{\varrho_a}$$

$$r_m = \frac{\varrho_i + \varrho_a}{2}$$

berechnet werden kann, wenn ϱ_i den Krümmungsradius der inneren und ϱ_a den der äußeren Kanalwand angibt. Diese Gleichungen sind für die nun folgenden Betrachtungen wichtig.

3. Kapitel.

Aufstellung einer Formel zur Berechnung des Energieverlustes, den das Wasser beim Durchfluß durch Turbinenkanäle erleidet.

Die theoretische Grundlage einer solchen Formel kann natürlich nur dadurch erlangt werden, daß man wiederum durch vereinfachende Annahmen die verwickelten Wasserbewegungen der Theorie zugänglich macht, besonders da hier der leichten Anwendung der Formel wegen der Kanalinhalt nur durch mittlere Normalschnitte, nicht durch Wasserfäden in einzeln zu betrachtende Teile zerlegt werden soll.

Schon bei der Aufstellung dieser mittleren Normalschnitte ist eine Annäherung nötig.

Von einem Punkte M im Kanal, der von beiden Schaufeln gleich weit entfernt ist, werden Normalen zu den Schaufeln gelegt, und auf diesen die entsprechenden Krümmungsmittelpunkte A und B der Schaufelkurven aufgesucht. Verbindet man dann die 2 Mittelpunkte durch eine Gerade, so wird der in der Mitte zwischen A und B liegende Punkt C von dem Krümmungsmittelpunkte des durch M gehenden Wasserfadens nicht sehr verschieden sein. Man kann daher einen durch M und C gelegten Schnitt als mittleren Normalschnitt durch den ganzen Kanal annehmen. Nach diesem Verfahren¹⁾ wurden Querschnitte in alle Kanäle eingezeichnet

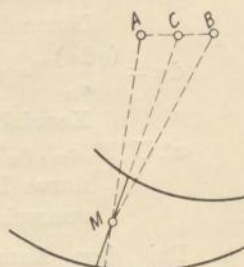


Fig. 9.

¹⁾ Dasselbe ist einem von Prof. Brauer im Bezirksverein Karlsruhe des Vereines d. Ing. gehaltenen noch nicht veröffentlichten Vortrag entnommen.